

# Algoritmos e Estruturas de Dados II

## Capítulo da Aula 24: Fluxo Máximo

Prof. Aléssio Miranda Júnior  
alessio@cefetmg.br  
CEFET-MG - Campus Timóteo

Fevereiro de 2026

### 1. O Problema do Encanamento

Temos uma rede de tubulações conectando uma represa (**Fonte**  $s$ ) a uma cidade (**Sorvedouro**  $t$ ). Cada cano tem um diâmetro (**Capacidade**) diferente. Qual é a quantidade máxima de água que consegue chegar na cidade por segundo?

Este é o **Problema do Fluxo Máximo** — um dos problemas mais fundamentais em grafos, com aplicações que vão desde redes de transporte e telecomunicações até segmentação de imagens e bioinformática.

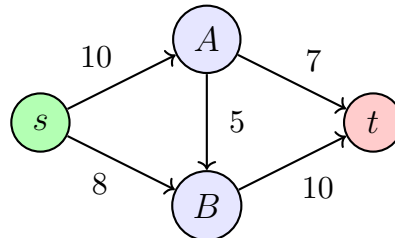


Figure 1: Rede de fluxo: fonte  $s$ , sorvedouro  $t$ , capacidades nas arestas. Qual a vazão máxima de  $s$  a  $t$ ?

### 2. Definição Formal: Rede de Fluxo

## Rede de Fluxo

## • Teoria

Uma **Rede de Fluxo** é um grafo dirigido  $G = (V, E)$  com:

- Uma **fonte**  $s \in V$ : vértice onde o fluxo é produzido (origem).
- Um **sorvedouro**  $t \in V$ : vértice onde o fluxo é consumido (destino).
- Uma função de **capacidade**  $c : V \times V \rightarrow \mathbb{R}_{\geq 0}$ , onde  $c(u, v) = 0$  se  $(u, v) \notin E$ .
- **Sem arestas anti-paralelas**: para cada par  $(u, v)$ , se  $(u, v) \in E$ , então  $(v, u) \notin E$ .

## ◇ Informação

**Arestas anti-paralelas**: Se o grafo original possui arestas  $(u, v)$  e  $(v, u)$  simultaneamente, podemos eliminar o conflito inserindo um vértice auxiliar  $w$  e substituindo  $(u, v)$  por  $(u, w)$  e  $(w, v)$ , ambas com a mesma capacidade original. Isso preserva a semântica sem alterar o fluxo máximo.

## Fluxo: Definição e Propriedades

## • Teoria

Um **fluxo** em uma rede de fluxo  $G$  é uma função  $f : V \times V \rightarrow \mathbb{R}$  que satisfaz:

**1 Restrição de capacidade**: Para todo par  $(u, v) \in V \times V$ :

$$0 \leq f(u, v) \leq c(u, v)$$

**2 Conservação de fluxo**: Para todo vértice  $u \in V \setminus \{s, t\}$ :

$$\sum_{v \in V} f(v, u) = \sum_{v \in V} f(u, v)$$

(o que entra em  $u$  é igual ao que sai de  $u$ )

**3 Valor do fluxo**: O valor de um fluxo  $f$ , denotado  $|f|$ , é o fluxo líquido saindo da fonte:

$$|f| = \sum_{v \in V} f(s, v) - \sum_{v \in V} f(v, s)$$

O **Problema do Fluxo Máximo** consiste em encontrar um fluxo  $f$  que maximize  $|f|$ .

Exemplo: Fluxo Válido vs Inválido

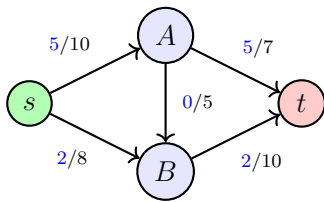


Figure 2: \*  
Fluxo Válido ( $|f| = 7$ )

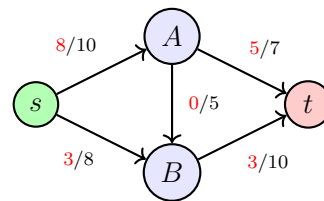


Figure 3: \*  
Fluxo Inválido!

No fluxo da esquerda:  $A$  recebe 5, envia  $5 + 0 = 5$  (conservação OK).  $B$  recebe  $2 + 0 = 2$ , envia 2 (OK). No fluxo da direita:  $A$  recebe 8, mas envia apenas  $5 + 0 = 5$  — viola conservação no vértice  $A$ .

### 3. Múltiplas Fontes e Sorvedouros

Muitos problemas reais têm **várias fontes**  $s_1, s_2, \dots, s_k$  e **vários sorvedouros**  $t_1, t_2, \dots, t_m$ . Para converter para o formato padrão (uma fonte, um sorvedouro):

► Prática

**Técnica: Super-Source e Super-Sink**

- 1 Crie um vértice **super-source**  $S$  com arestas  $S \rightarrow s_i$  de capacidade  $\infty$  (ou a produção máxima de cada fonte  $s_i$ ).
- 2 Crie um vértice **super-sink**  $T$  com arestas  $t_j \rightarrow T$  de capacidade  $\infty$  (ou a demanda máxima de cada sorvedouro  $t_j$ ).
- 3 Resolva o fluxo máximo de  $S$  a  $T$  na rede estendida.

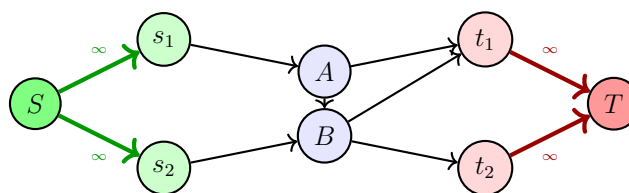


Figure 4: Transformação de múltiplas fontes/sorvedouros em fonte/sorvedouro únicos.

### 4. Caminho Aumentante e Grafo Residual

## Caminho Aumentante

## • Teoria

Um **caminho aumentante** é um caminho de  $s$  a  $t$  no **grafo residual**  $G_f$  onde todas as arestas têm capacidade residual estritamente positiva.

O **gargalo** (bottleneck) de um caminho aumentante  $P$  é a menor capacidade residual ao longo dele:

$$c_f(P) = \min_{(u,v) \in P} c_f(u, v)$$

## • Teoria

**Teorema (Ford-Fulkerson):** O fluxo  $f$  é máximo se e somente se não existe caminho aumentante de  $s$  a  $t$  no grafo residual  $G_f$ .

## Grafo Residual: Construção

A grande sacada do método **Ford-Fulkerson** é a capacidade de **desfazer** decisões. Dado um fluxo  $f$  na rede  $G$ , o **grafo residual**  $G_f$  tem os mesmos vértices de  $G$ , mas suas arestas têm capacidades residuais:

- **Aresta de ida**  $(u, v)$ : se  $f(u, v) < c(u, v)$ , existe aresta  $(u, v)$  em  $G_f$  com capacidade residual:

$$c_f(u, v) = c(u, v) - f(u, v) \quad (\text{quanto ainda cabe})$$

- **Aresta reversa**  $(v, u)$ : se  $f(u, v) > 0$ , existe aresta  $(v, u)$  em  $G_f$  com capacidade residual:

$$c_f(v, u) = f(u, v) \quad (\text{quanto podemos "devolver"})$$

Ida:  $10 - 6 = 4$   
**Original:**  $c(A, B) = 10, f(A, B) = 6$

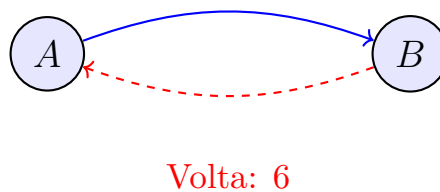


Figure 5: Grafo residual: aresta de ida com capacidade restante; aresta reversa com fluxo “devolvível”.

### Exemplo Completo de Grafo Residual

Considere a rede da Figura 1 após enviar 7 unidades pelo caminho  $s \rightarrow A \rightarrow t$ :

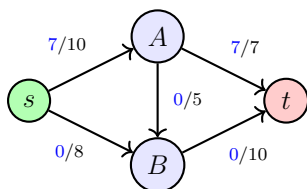


Figure 6: \*

**Grafo com fluxo** ( $|f| = 7$ )

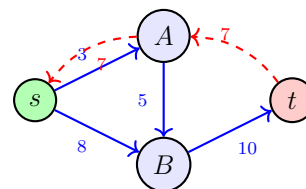


Figure 7: \*

**Grafo Residual**  $G_f$

Figure 8: Construção do grafo residual a partir do fluxo. A aresta  $A \rightarrow t$  não aparece no residual (capacidade restante = 0).

Detalhamento aresta por aresta:

- $s \rightarrow A$ : ida =  $10 - 7 = 3$ , volta = 7
- $A \rightarrow t$ : ida =  $7 - 7 = 0$  (**não aparece!**), volta = 7
- $s \rightarrow B$ : ida =  $8 - 0 = 8$ , volta = 0 (não aparece)
- $A \rightarrow B$ : ida =  $5 - 0 = 5$ , volta = 0 (não aparece)
- $B \rightarrow t$ : ida =  $10 - 0 = 10$ , volta = 0 (não aparece)

## Por que Arestas Reversas são Essenciais?

## △ Importante

**Sem arestas reversas, o algoritmo pode ficar preso em soluções subótimas.** As arestas reversas permitem “redirecionar” fluxo para caminhos mais eficientes, efetivamente “desfazendo” decisões anteriores.

Considere o grafo “diamante” onde todas as capacidades são 1:

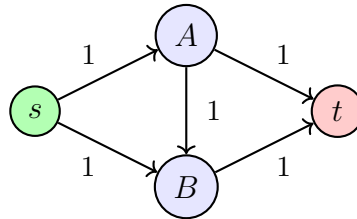


Figure 9: Grafo diamante: fluxo máximo real = 2.

Se a primeira iteração escolhe o caminho  $s \rightarrow A \rightarrow B \rightarrow t$  (gargalo 1,  $|f| = 1$ ), sem arestas reversas **não haveria mais caminhos** (pois  $A \rightarrow B$  estaria saturada), resultando em  $|f| = 1$  (subótimo!).

Com arestas reversas, a segunda iteração encontra  $s \rightarrow B \rightarrow A \rightarrow t$ , usando a aresta reversa  $B \rightarrow A$  (capacidade 1). Isso efetivamente **redireciona**:  $A$  passa a enviar diretamente para  $t$  em vez de via  $B$ , e  $B$  recebe diretamente de  $s$ . Resultado:  $|f| = 2$  (ótimo!).

## Três Condições Equivalentes

## • Teoria

As seguintes condições são equivalentes:

- 1  $f$  é um fluxo **máximo**.
- 2 **Não existe** caminho aumentante de  $s$  a  $t$  no grafo residual  $G_f$ .
- 3  $|f| = c(S, T)$  para algum corte  $(S, T)$  (i.e., o fluxo atinge a capacidade de algum corte).

## 5. Ford-Fulkerson: O Método Genérico

O método de Ford-Fulkerson é um *método* (não um algoritmo específico), pois não especifica **como** encontrar o caminho aumentante. A escolha do método de busca determina a complexidade.

## Pseudocódigo

## ► Prática

**Método Ford-Fulkerson:**

- 1 Inicialize  $f(u, v) = 0$  para todas as arestas.
- 2 **Enquanto** existir caminho aumentante  $P$  de  $s$  a  $t$  no grafo residual  $G_f$ :
  - Calcule o gargalo:  $c_f(P) = \min\{c_f(u, v) : (u, v) \in P\}$ .
  - Para cada aresta  $(u, v)$  no caminho  $P$ :
    - $f(u, v) \leftarrow f(u, v) + c_f(P)$  (aumenta o fluxo na ida)
    - $f(v, u) \leftarrow f(v, u) - c_f(P)$  (“devolve” na volta)
- 3 Retorne  $|f|$ .

## Trace Passo a Passo

Usando a rede da Figura 1 ( $s \xrightarrow{10} A \xrightarrow{7} t$ ,  $s \xrightarrow{8} B \xrightarrow{10} t$ ,  $A \xrightarrow{5} B$ ):

Iteração	Caminho Encontrado	Gargalo	$ f $
1	$s \rightarrow A \rightarrow t$	$\min(10, 7) = 7$	7
2	$s \rightarrow B \rightarrow t$	$\min(8, 10) = 8$	15
3	$s \rightarrow A \rightarrow B \rightarrow t$	$\min(3, 5, 2) = 2$	17
4	Sem caminho	—	<b>17 (máximo)</b>

Na iteração 3, as capacidades residuais são:  $s \rightarrow A$  tem  $10 - 7 = 3$ ,  $A \rightarrow B$  tem  $5 - 0 = 5$ ,  $B \rightarrow t$  tem  $10 - 8 = 2$ . O gargalo é  $\min(3, 5, 2) = 2$ .

## Complexidade e o Caso Patológico

## △ Importante

**Complexidade:**  $O(E \cdot |f^*|)$ , onde  $|f^*|$  é o valor do fluxo máximo.

Com DFS, Ford-Fulkerson pode ser **exponencialmente lento**:

- Em um grafo com arestas de capacidade  $M$  muito grande, DFS pode escolher caminhos que passam por uma aresta de capacidade 1, adicionando apenas 1 unidade de fluxo por iteração.
- Com  $M = 10^6$ : até  $2 \times 10^6$  iterações!
- Com capacidades **irracionais**: pode **não convergir** para o valor correto!

## ▷ Exemplo

**Caso Patológico:** Considere a rede com  $s \xrightarrow{M} A$ ,  $s \xrightarrow{M} B$ ,  $A \xrightarrow{1} B$ ,  $A \xrightarrow{M} t$ ,  $B \xrightarrow{M} t$ . O fluxo máximo é  $2M$ , mas DFS pode alternar entre  $s \rightarrow A \rightarrow B \rightarrow t$  e  $s \rightarrow B \rightarrow A \rightarrow t$  (via reversa), enviando apenas 1 unidade por iteração, totalizando  $2M$  iterações.

## 6. Algoritmo de Edmonds-Karp

Ideia Central: BFS em vez de DFS

O algoritmo de Edmonds-Karp é a implementação do método Ford-Fulkerson usando **BFS** para encontrar o caminho aumentante **mais curto** (em número de arestas) no grafo residual a cada iteração. Essa escolha garante complexidade **polinomial**, independente do valor do fluxo.

## • Teoria

**Lema-Chave:** Para todo vértice  $v$ , a distância  $d(s, v)$  no grafo residual **nunca diminui** ao longo das iterações de Edmonds-Karp.

**Consequência:** Cada aresta pode ser “crítica” (gargalo) no máximo  $O(V/2)$  vezes. Como há  $O(E)$  arestas, há no máximo  $O(VE)$  aumentações.

Por que BFS e não DFS?

Aspecto	DFS (Ford-Fulkerson)	BFS (Edmonds-Karp)
Tipo de caminho	Qualquer (pode ser longo)	Mais curto (menos arestas)
Iterações	Até $ f^* $	No máximo $O(VE)$
Complexidade total	$O(E \cdot  f^* )$	$O(V \cdot E^2)$
Capacidades irracionais	Pode não convergir	Sempre termina

No caso patológico anterior, BFS encontra diretamente os caminhos  $s \rightarrow A \rightarrow t$  e  $s \rightarrow B \rightarrow t$  (ambos com 2 arestas, enviando  $M$  cada), finalizando em apenas 2 iterações.

Trace Completo: Grafo com 6 Vértices

Considere a seguinte rede:

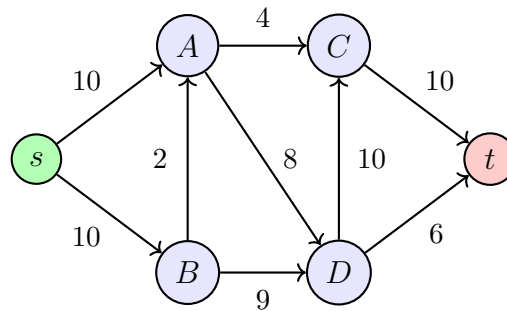


Figure 10: Rede de 6 vértices para trace de Edmonds-Karp.

Iter	Caminho BFS	Gargalo	$ f $
1	$s \rightarrow A \rightarrow C \rightarrow t$	$\min(10, 4, 10) = 4$	4
2	$s \rightarrow B \rightarrow D \rightarrow t$	$\min(10, 9, 6) = 6$	10
3	$s \rightarrow A \rightarrow D \rightarrow C \rightarrow t$	$\min(6, 8, 10, 6) = 6$	16
4	BFS: $t$ inalcançável	—	<b>16 (máximo)</b>

Após a iteração 3, o grafo residual não possui mais caminho de  $s$  a  $t$ . Fluxo máximo = 16.

## 7. Implementação Java: Edmonds-Karp

Para Fluxo Máximo, a **Matriz de Adjacência** ( $\text{cap}[u][v]$ ) é mais prática que lista de adjacência, desde que  $V \leq 500$ .

```

1 import java.util.*;
2
3 public class MaxFlow {
4     static final int INF = Integer.MAX_VALUE;
5
6     public static int edmondsKarp(int N, int[][] cap, int s,
7     int t) {
8         int flow = 0;
9         int[] parent = new int[N];
10
11         while (true) {
12             // 1. BFS no grafo residual
13             Arrays.fill(parent, -1);
14             Queue<Integer> q = new LinkedList<>();
15             q.add(s);
16             parent[s] = s;
17
18             while (!q.isEmpty()) {
19                 int u = q.poll();
20                 if (u == t) break;
21                 for (int v = 0; v < N; v++) {
22                     if (parent[v] == -1 && cap[u][v] > 0) {

```

```

23         q.add(v);
24     }
25 }
26 }
27
28     if (parent[t] == -1) break; // Sem caminho
29
30     // 2. Gargalo do caminho
31     int push = INF;
32     for (int v = t; v != s; v = parent[v])
33         push = Math.min(push, cap[parent[v]][v]);
34
35     // 3. Atualizar residual
36     flow += push;
37     for (int v = t; v != s; v = parent[v]) {
38         cap[parent[v]][v] -= push; // Diminui ida
39         cap[v][parent[v]] += push; // Aumenta volta
40     }
41 }
42 return flow;
43 }
44 }

```

#### ◇ Informação

**Observação sobre a implementação:** A matriz  $cap[u][v]$  serve simultaneamente como grafo e grafo residual. Ao subtrair na ida e somar na volta, automaticamente criamos as arestas reversas. Essa elegância é possível porque  $c(u, v) = 0$  para arestas inexistentes, e a soma na volta cria a capacidade de “devolução”.

**Complexidade:**  $O(V \cdot E^2)$ . Na prática, é muito mais rápido que o pior caso sugere.

## 8. Teorema Max-Flow Min-Cut

O que é um Corte  $s$ - $t$ ?

### • Teoria

Um **corte**  $s$ - $t$  é uma partição dos vértices de  $G$  em dois conjuntos  $S$  e  $T = V \setminus S$ , com  $s \in S$  e  $t \in T$ .

A **capacidade do corte**  $(S, T)$  é:

$$c(S, T) = \sum_{\substack{u \in S \\ v \in T}} c(u, v)$$

Somamos apenas as capacidades das arestas que **cruzam de  $S$  para  $T$**  (não de  $T$  para  $S$ !).

**Exemplo: Todos os Cortes de um Grafo**

Na rede da Figura 1, existem  $2^{|V|-2} = 2^2 = 4$  possíveis cortes  $s$ - $t$ :

#	$S$	Arestas $S \rightarrow T$	Capacidade
1	$\{s\}$	$s \rightarrow A$ (10), $s \rightarrow B$ (8)	18
2	$\{s, A\}$	$s \rightarrow B$ (8), $A \rightarrow B$ (5), $A \rightarrow t$ (7)	20
3	$\{s, B\}$	$s \rightarrow A$ (10), $B \rightarrow t$ (10)	20
4	$\{s, A, B\}$	$A \rightarrow t$ (7), $B \rightarrow t$ (10)	<b>17</b>

O corte mínimo é  $\{s, A, B\} | \{t\}$  com capacidade **17**. Isso é exatamente igual ao fluxo máximo — **não é coincidência!**

**O Teorema**

## • Teoria

**Teorema Max-Flow Min-Cut (Ford & Fulkerson, 1956):**

Em qualquer rede de fluxo, o **valor do fluxo máximo** é exatamente igual à **capacidade do corte mínimo** que separa  $s$  de  $t$ :

$$\max_f |f| = \min_{(S,T)} c(S, T)$$

**Intuição da Prova**

A prova se divide em duas partes:

- $|f| \leq c(S, T)$  para qualquer corte:** Todo o fluxo de  $s$  a  $t$  tem que “atravessar” qualquer corte. Como  $f(u, v) \leq c(u, v)$ , o fluxo não pode exceder a capacidade do corte.
- Existe um corte com  $|f^*| = c(S^*, T^*)$ :** Quando Edmonds-Karp termina (BFS falha), defina  $S^* = \{v : v \text{ é alcançável de } s \text{ no grafo residual}\}$  e  $T^* = V \setminus S^*$ . Todas as arestas originais de  $S^*$  para  $T^*$  estão **saturadas** (capacidade residual = 0), logo  $|f^*| = c(S^*, T^*)$ .

**Extraindo o Corte Mínimo na Prática**

Após executar Edmonds-Karp:

## ▶ Prática

**Algoritmo para encontrar o Corte Mínimo:**

- Execute **BFS** no grafo residual a partir de  $s$ .
- $S = \{\text{vértices alcançáveis}\}$ ,  $T = \{\text{vértices não alcançáveis}\}$ .
- As **arestas do corte** são as arestas originais de  $S$  para  $T$  (todas saturadas).

```

1 // Apos Edmonds-Karp: BFS no residual a partir de s
2 boolean[] reachable = new boolean[N];
3 Queue<Integer> q = new LinkedList<>();
4 q.add(s); reachable[s] = true;
5 while (!q.isEmpty()) {
6     int u = q.poll();
7     for (int v = 0; v < N; v++)
8         if (!reachable[v] && cap[u][v] > 0) {
9             reachable[v] = true; q.add(v);
10        }
11 }
12 // Arestas do corte: originalCap[u][v] > 0 &&& reachable[u] &&& !
    reachable[v]

```

### ▷ Exemplo

**Aplicação Prática:** “Qual o menor número de conexões que, se cortadas, desconecta duas redes?” ⇒ Corte mínimo! Defina cada aresta com capacidade 1 e encontre o corte mínimo.

## 9. Algoritmo de Dinic

O algoritmo de Dinic melhora o Edmonds-Karp usando dois conceitos-chave: **Level Graph** e **Blocking Flow**.

### Level Graph (Grafo de Níveis)

#### • Teoria

O **Level Graph**  $L_G$  é um subgrafo do grafo residual que contém apenas as arestas  $(u, v)$  onde  $\text{dist}(v) = \text{dist}(u) + 1$ . Em outras palavras, apenas arestas que “avançam” um nível em direção a  $t$  são mantidas.

A construção do Level Graph é simples: execute BFS a partir de  $s$  no grafo residual. Arestas entre vértices do **mesmo nível** ou que “voltam” para níveis anteriores são **removidas**.

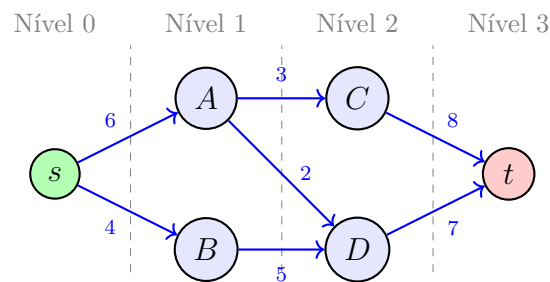


Figure 11: Level Graph: apenas arestas que avançam um nível são mantidas. Arestas entre vértices do mesmo nível (e.g.,  $A \rightarrow B$ ) são removidas.

### Blocking Flow (Fluxo de Bloqueio)

#### • Teoria

Um **Blocking Flow** é um fluxo no Level Graph que **satura pelo menos uma aresta** em cada caminho de  $s$  a  $t$ . Após um blocking flow, nenhum caminho de  $s$  a  $t$  sobrevive no Level Graph atual.

O blocking flow é encontrado via **DFS** com poda:

- 1 DFS de  $s$  buscando  $t$  no Level Graph.
- 2 Ao encontrar  $t$ : sature o caminho (envie o gargalo).
- 3 **Dead-end** (beco sem saída): poda o vértice e retrocede.
- 4 Continue DFS para encontrar mais caminhos.
- 5 Pare quando DFS não alcançar  $t$ .

### Fluxo do Algoritmo

#### ► Prática

#### Algoritmo de Dinic:

- 1 Construa o Level Graph via BFS no grafo residual.
- 2 Se  $t$  não é alcançável: **pare** (fluxo é máximo).
- 3 Encontre um Blocking Flow via DFS no Level Graph.
- 4 Atualize o grafo residual com o fluxo encontrado.
- 5 Volte ao passo 1.

### Vantagem sobre Edmonds-Karp

Em uma **única fase**, Dinic encontra **múltiplos** caminhos aumentantes (todos de mesmo comprimento mínimo), enquanto Edmonds-Karp encontra apenas **um** por iteração.

### Complexidade

Caso	Complexidade	Justificativa
Geral	$O(V^2 \cdot E)$	$\leq V$ fases, cada fase $O(VE)$
Caps unitárias	$O(E\sqrt{V})$	$\leq \sqrt{V}$ fases

Para **matching bipartido** (todas as capacidades = 1), Dinic em  $O(E\sqrt{V})$  é o algoritmo mais rápido na prática, equivalente ao algoritmo de Hopcroft-Karp.

## 10. Comparação de Algoritmos

Algoritmo	Complexidade	Quando usar
Ford-Fulkerson (DFS)	$O(E \cdot  f^* )$	<b>Evitar! Pode ser exponencial.</b>
<b>Edmonds-Karp (BFS)</b>	$O(V \cdot E^2)$	Caso geral, fácil de implementar
<b>Dinic</b>	$O(V^2 \cdot E)$	Grafos grandes, competições
Dinic (caps unitárias)	$O(E\sqrt{V})$	<b>Matching bipartido!</b>
Push-Relabel	$O(V^2 \cdot E)$	Alternativa ao Dinic
Push-Relabel (FIFO)	$O(V^3)$	Grafos muito densos

#### ◇ Informação

##### Na prática:

- **Maratona/Competição:** Dinic é o mais usado (rápido, ~40 linhas de código).
- **Didático/Aprendizado:** Edmonds-Karp (mais fácil de entender e implementar).
- **Grafos densos muito grandes:** Push-Relabel FIFO ( $O(V^3)$ , sem dependência em  $E$ ).

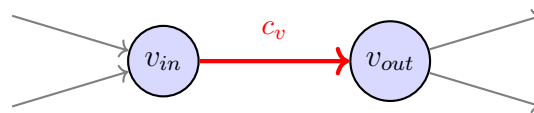
## 11. Modelagem: Capacidade nos Vértices (Vertex Splitting)

Às vezes, cada vértice  $v$  tem uma capacidade máxima  $c_v$  de fluxo que pode **passar por ele**. Para modelar isso:

## ► Prática

**Técnica: Vertex Splitting**

- 1 Divida cada vértice  $v$  em dois:  $v_{in}$  e  $v_{out}$ .
- 2 Todas as arestas que **entram** em  $v$  vão para  $v_{in}$ .
- 3 Todas as arestas que **saem** de  $v$  partem de  $v_{out}$ .
- 4 Adicione aresta interna  $v_{in} \rightarrow v_{out}$  com capacidade  $c_v$ .



Aresta interna limita o fluxo total

Figure 12: Vertex splitting: a aresta interna  $v_{in} \rightarrow v_{out}$  com capacidade  $c_v$  garante que no máximo  $c_v$  unidades passam pelo vértice.

## ► Exemplo

**Aplicação:** “Cada roteador suporta no máximo  $K$  pacotes por segundo.”  $\Rightarrow$  Vertex splitting com  $c_v = K$  para cada roteador.

**Conectividade de vértices:** Para encontrar o número mínimo de vértices cuja remoção desconecta  $s$  de  $t$ , aplique vertex splitting com  $c_v = 1$  para cada vértice (exceto  $s$  e  $t$ ) e calcule o fluxo máximo.

## 12. Matching Bipartido via Fluxo Máximo

O **Matching Máximo Bipartido** é um caso especial do fluxo máximo.

### O Problema

Dado um grafo bipartido  $G = (L \cup R, E)$ , encontrar o maior conjunto de arestas tal que nenhum vértice seja coberto por mais de uma aresta.

## Modelagem como Fluxo

## ► Prática

- 1 Crie um **super-source**  $S$  com arestas  $S \rightarrow l$  de capacidade 1, para cada  $l \in L$ .
- 2 Crie um **super-sink**  $T$  com arestas  $r \rightarrow T$  de capacidade 1, para cada  $r \in R$ .
- 3 Para cada aresta  $(l, r)$  do grafo bipartido, crie aresta  $l \rightarrow r$  com capacidade 1.
- 4 **Fluxo máximo = tamanho do matching máximo!**

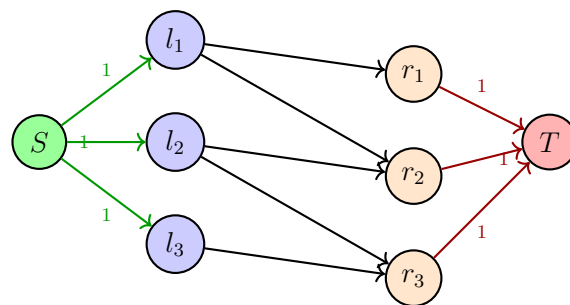


Figure 13: Matching bipartido modelado como fluxo. Fluxo máximo = 3 = matching perfeito:  $l_1 \rightarrow r_1$ ,  $l_2 \rightarrow r_2$ ,  $l_3 \rightarrow r_3$ .

Com Dinic (capacidades unitárias), a complexidade é  $O(E\sqrt{V})$ , que é equivalente ao algoritmo especializado de Hopcroft-Karp.

## ◇ Informação

**Papel das arestas reversas no matching:** Se  $l_1$  for inicialmente emparelhado com  $r_2$ , mas depois  $l_2$  (que só pode ir para  $r_2$ ) precisar de  $r_2$ , a aresta reversa permite “desemparelhar”  $l_1$  de  $r_2$  e redirecioná-lo para  $r_1$ . Isso é exatamente o que os “caminhos alternados” do algoritmo de Hopcroft-Karp fazem!

## 13. Circulação com Demandas (Lower Bounds)

## O Problema

Em algumas redes, cada aresta  $(u, v)$  tem não apenas uma capacidade máxima  $c(u, v)$ , mas também um fluxo **mínimo obrigatório** (demanda)  $d(u, v)$ . Queremos:

$$d(u, v) \leq f(u, v) \leq c(u, v)$$

## Transformação para Fluxo Padrão

## ► Prática

- 1 Para cada aresta  $(u, v)$  com demanda  $d$  e capacidade  $c$ :
  - Nova capacidade:  $c' = c - d$ .
  - Acumule em cada vértice:  $v$  “recebe”  $d$  obrigatoriamente (excesso positivo),  $u$  “deve” enviar  $d$  (excesso negativo).
- 2 Crie super-source  $S'$  e super-sink  $T'$ :
  - Para cada vértice  $v$  com excesso positivo  $D_v > 0$ : aresta  $S' \rightarrow v$  com capacidade  $D_v$ .
  - Para cada vértice  $u$  com excesso negativo  $D_u < 0$ : aresta  $u \rightarrow T'$  com capacidade  $|D_u|$ .
- 3 Aresta  $t \rightarrow s$  com capacidade  $\infty$  (fecha o ciclo).
- 4 Se o fluxo máximo de  $S'$  a  $T'$  **satura todas** as arestas de  $S'$ : a circulação é viável!

## 14. Project Selection (Closure Problem)

## O Problema

Temos um conjunto de projetos, cada um com um **lucro** (que pode ser positivo ou negativo — custo). Há **dependências**: se o projeto  $A$  depende de  $B$ , então para fazer  $A$  também devemos fazer  $B$ . Queremos selecionar o subconjunto de projetos que **maximiza o lucro total**.

## Modelagem como Min-Cut

## ► Prática

- 1 **Source**  $s \rightarrow$  projetos com lucro  $> 0$ : aresta com capacidade = lucro.
- 2 Projetos com lucro  $< 0 \rightarrow$  **Sink**  $t$ : aresta com capacidade =  $|\text{custo}|$ .
- 3 Dependência  $A \rightarrow B$  (“ $A$  depende de  $B$ ”): aresta com capacidade  $\infty$ .
- 4 **Lucro máximo** =  $\sum$  (lucros positivos) – Min-Cut.

## ◇ Informação

**Intuição:** O min-cut decide o que “cortar”. Cortar a aresta de  $s$  significa **desistir de um lucro**. Cortar a aresta para  $t$  significa **pagar um custo**. Dependências com capacidade  $\infty$  garantem que nunca são cortadas — se selecionamos  $A$ , obrigatoriamente selecionamos  $B$ .

## 15. Dicas de Modelagem e Padrões Comuns

### Checklist de Modelagem

#### ✓ title=✓ Checklist para Problemas de Fluxo

- 1 **Identifique** fonte e sorvedouro.
  - Múltiplas fontes/sorvedouros?  $\Rightarrow$  Super-source / super-sink.
- 2 **Defina** capacidades nas arestas (representam limites).
- 3 Capacidade nos **vértices**?  $\Rightarrow$  Vertex splitting.
- 4 **Execute** Edmonds-Karp ou Dinic.
- 5 Precisa do  **corte mínimo**?  $\Rightarrow$  BFS no residual após o fluxo.

### Padrões Frequentes

Padrão	Modelagem
Matching bipartido	Caps 1, super- $s$ /super- $t$
Alocação com limites	Caps = limites de produção/demanda
Conectividade de arestas	Caps 1 em cada aresta, corte mínimo
Conectividade de vértices	Vertex splitting + caps 1 + corte mínimo
Seleção com dependências	Closure Problem (min-cut)
Distribuição de tarefas	Super-source (produção), super-sink (demanda)

#### △ Importante

**Dica de Maratona:** Se o problema menciona “capacidade”, “gargalo”, “vazão máxima”, “corte mínimo”, “matching”, ou “distribuição ótima”  $\Rightarrow$  pense em **Fluxo Máximo!**

## 16. Exercícios

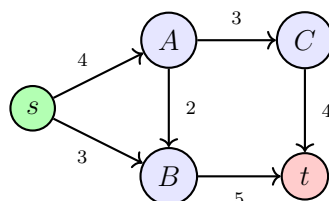
### 16.1. Exercícios Conceituais

- 1 Explique com suas palavras o conceito de **grafo residual**. Por que arestas reversas são essenciais para a corretude do algoritmo?
- 2 Enuncie o **Teorema Max-Flow Min-Cut**. Descreva como identificar o corte mínimo após executar Edmonds-Karp.
- 3 Por que Ford-Fulkerson com DFS pode ser exponencialmente lento, enquanto Edmonds-Karp (BFS) garante complexidade polinomial? Dê um exemplo concreto.
- 4 Compare Edmonds-Karp, Dinic e Push-Relabel em termos de complexidade, facilidade de implementação e casos de uso recomendados.

- 5 Explique a técnica de **vertex splitting**. Em que situações ela é necessária?
- 6 Como o **matching bipartido** se reduz a um problema de fluxo máximo? Qual a complexidade resultante com Dinic?

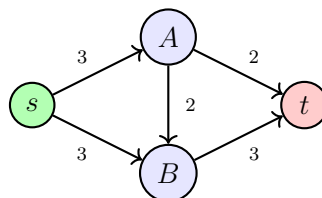
### 16.2. Exercícios Analíticos

- 1 **Trace manual:** Simule Edmonds-Karp passo a passo na rede abaixo. Mostre cada caminho BFS, o gargalo, o fluxo acumulado e o grafo residual após cada iteração.



**Resposta:** Caminhos:  $s \rightarrow A \rightarrow C \rightarrow t$  (garg=3),  $s \rightarrow B \rightarrow t$  (garg=3),  $s \rightarrow A \rightarrow B \rightarrow t$  (garg=1). Fluxo máximo = 7. Corte mínimo:  $\{s\}|\{A, B, C, t\}$ , capacidade  $4 + 3 = 7$ .

- 2 **Aresta reversa crucial:** Simule Edmonds-Karp na rede abaixo. Em alguma iteração, uma aresta reversa é usada como parte do caminho BFS?



- 3 **Corte mínimo:** Após executar Edmonds-Karp em uma rede e obter  $|f^*| = 19$ , o grafo residual permite BFS alcançar apenas  $\{s, B\}$  a partir de  $s$ . Dado que as arestas originais de  $\{s, B\}$  para os demais são  $s \rightarrow A$  (cap 12) e  $B \rightarrow D$  (cap 7), verifique que  $12 + 7 = 19$ .

- 4 **Todos os cortes:** Na rede da Figura 1, enumere todos os  $2^2 = 4$  cortes  $s$ - $t$  possíveis, suas capacidades, e identifique o corte mínimo.

- 5 **Modelagem — Fábricas e Lojas:** 3 fábricas ( $F_1$ : produz 5,  $F_2$ : produz 8,  $F_3$ : produz 4) e 4 lojas ( $L_1$ : demanda 3,  $L_2$ : demanda 5,  $L_3$ : demanda 4,  $L_4$ : demanda 6). Capacidades de transporte dadas. Como modelar como rede de fluxo? O que  $S$ ,  $T$  e o fluxo máximo representam?

**Resposta:** Super-source  $S \rightarrow$  fábricas (cap = produção). Lojas  $\rightarrow$  Super-sink  $T$  (cap = demanda). Fábricas  $\rightarrow$  lojas com caps de transporte. Fluxo máximo = distribuição ótima.

**6 Matching bipartido:** 3 alunos ( $A_1, A_2, A_3$ ) e 3 projetos ( $P_1, P_2, P_3$ ).  $A_1$  gosta de  $P_1$  e  $P_2$ ;  $A_2$  gosta de  $P_2$  e  $P_3$ ;  $A_3$  gosta de  $P_1$ . Modele como fluxo e encontre o matching máximo.

**Resposta:** Matching máximo = 3:  $A_1 \rightarrow P_2, A_2 \rightarrow P_3, A_3 \rightarrow P_1$ . A aresta reversa é crucial se  $A_1$  for inicialmente atribuído a  $P_1$ .

### 16.3. Exercícios de Programação

- 1 Implemente Edmonds-Karp completo com identificação do corte mínimo. Teste na rede da Figura 1.
- 2 Resolva emparelhamento máximo bipartido usando sua implementação de fluxo máximo. Crie a modelagem com super-source e super-sink.
- 3 Implemente uma função que, dado o grafo residual final, identifique e imprima todas as arestas do corte mínimo.
- 4 **Desafio:** Implemente o algoritmo de Dinic com Level Graph (BFS) e Blocking Flow (DFS com poda). Compare o desempenho com Edmonds-Karp em grafos grandes.
- 5 Resolva problemas de juiz online:
  - **UVa 820** — Internet Bandwidth (fluxo direto)
  - **UVa 10480** — Sabotage (corte mínimo)
  - **UVa 259** — Software Allocation (matching bipartido via fluxo)

## Resumo

## ✓ title=✓ Resumo: Fluxo Máximo

Conceito	Complexidade	Nota
Ford-Fulkerson (DFS)	$O(E \cdot  f^* )$	Evitar! Não é polinomial.
<b>Edmonds-Karp</b>	$O(VE^2)$	BFS. Fácil de implementar.
<b>Dinic</b>	$O(V^2E)$	Level Graph + Blocking Flow.
Min-Cut	Grátis	BFS no residual após o fluxo.
Vertex Splitting	—	Caps nos vértices.
Matching Bipartido	$O(E\sqrt{V})$	Dinic com caps unitárias.

**Conceitos-chave:**

- O **grafo residual** permite desfazer decisões via arestas reversas.
- O **Teorema Max-Flow Min-Cut** garante que fluxo máximo = capacidade do corte mínimo.
- **BFS** (Edmonds-Karp) garante convergência polinomial.
- **Modelagem** é a parte mais difícil: super-source/sink, vertex splitting, capacidades corretas.